

協和地下開発株式会社
東海大学
(社)日建経中央技術研究所

正会員 ○酒井 孝
正会員 冬木 衛
正会員 桜井 学

横山 克男
宇都 一馬

小宮山 善博

1. まえがき

土質試験の自動化を進めるにあたっては、試験機自体の自動化と同時にその整理方法をパソコンやコンピューターなどを用いて簡単に処理ができるようになると大変である。この整理方法に対する自動化の一例として、すでに文献1)～3)では、圧密試験結果から得られる間隙比(e)と圧密圧力(p)の関係、404例の $e - p$ データーに(1)式のワイブル分布曲線をあてはめ、この曲線から得られる回帰係数(b, m)を用いて主観の入らない方法で、 a_v, m_v, C_c, p_c などの圧密特性値を一義的に求め得る手法を提案した。

そこで、今回は体積比(f)と圧密圧力(p)の関係を筆者らが提案する手法に適用すべく、(3)式のワイブル分布曲線を404例の $f - p$ データーにあてはめ検討した結果、その適合性の良いことが分かったので報告する。

2. 数学モデル

$e - p$ 曲線の数学モデル式は(1)式で表される。¹⁾

$$e = e_0 \cdot [1 - \exp \left\{ - \left(\frac{p}{b} \right)^m \right\}] \quad (1)$$

ここに、 e_0 は初期間隙比で、(1)式において $p = 0$ のとき $e = e_0$ とする。

今回、 $f - p$ 曲線の数学モデルを(1)式の左辺の e を f に置き換え、そして右辺に定数項1を加えた(2)式とする。

$$f = e_0 \cdot [1 - \exp \left\{ - \left(\frac{p}{b} \right)^m \right\}] + 1 \quad (2)$$

e_0 を $f_0 - 1$ と置き換えると(2)式は(3)式となる。

$$f = (f_0 - 1) \cdot [1 - \exp \left\{ - \left(\frac{p}{b} \right)^m \right\}] + 1 \quad (3)$$

ここに、 f_0 は初期体積比で、(1)式と同様に $p = 0$ のとき $f = f_0 - 1$ とする。

f と p の実測値に(3)式をあてはめ^{4), 5)}得られた回帰係数(b, m)と、 e と p の実測値を(1)式にあてはめ^{4), 5)}得られた回帰係数(b, m)は、同じ値として解が得られる。

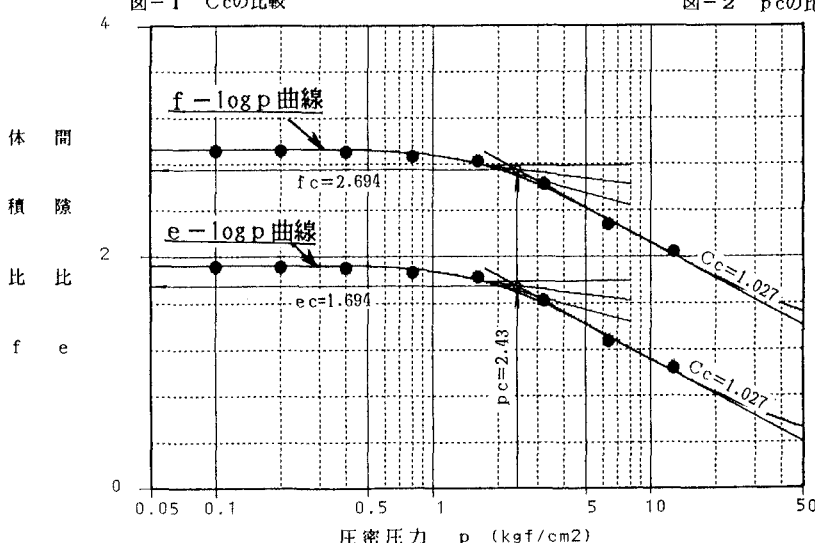
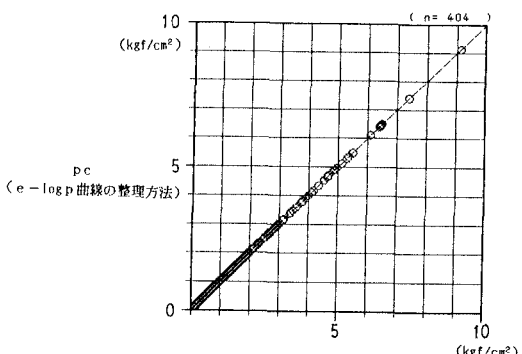
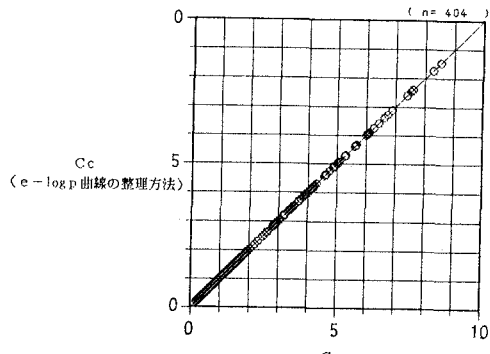
したがって、 $f - \log p$ 曲線における a_v, m_v, C_c, p_c などの圧密特性値の算定方法については、(3)式から得られた回帰係数(b, m)をもとに、文献1)～3)で提案した $e - \log p$ 曲線の整理方法と同じ算定式を用いて、求めることができる。

すなわち、 $e - \log p$ 曲線と $f - \log p$ 曲線の整理方法から得られる a_v, m_v, C_c, p_c 等の圧密特性値は同じ値になる。

3. $e - \log p$ 曲線と $f - \log p$ 曲線の整理方法から得られた C_c, p_c の比較

404例の $e - p$ データーと $f - p$ データーの実測値に(1)式と(3)式を用いて回帰計算^{4), 5)}を行い、得られた回帰係数(b, m)をもとに、 C_c, p_c などの圧密特性値を求め^{1), 2), 3)}、その値を比較すると図-1、図-2になる。図-1、図-2に示されるように、 $e - \log p$ 曲線と $f - \log p$ 曲線の整理方法から得られる C_c, p_c などの圧密特性値は当然のことながら同じ値になる。

また、文献2)で使用した「土質試験法」⁸⁾の第4章圧密試験、4.4圧密試験結果の利用に掲げられているデーターを用いて、本手法に従い自動計算した $e - \log p$ 曲線と $f - \log p$ 曲線の整理図を図-3に示す。



4. むすび

文献1)～3)と今回のような数学モデルを用いることにより、 $e - \log p$ 曲線と $f - \log p$ 曲線の整理方法をパソコンなどを使って主観を入れずに容易に整理することが可能となった。

また、(1)式と(3)式から得られる回帰係数(b, m)と自然含水比(W_n)は強い相関性があり、 W_n をパラメーターにして $e - \log p$ 曲線や $f - \log p$ 曲線そのものを予測することも可能となる。その予測方法については文献6)～7)を参照されたい。

今後は、沈下時間曲線の整理方法も、このような手法を用いて決定できれば、圧密試験結果の全体の整理が容易になるものと思われる。

5. 参考文献

- 1) 小宮山・横山・酒井・宇都・冬木・桜井： $e - p$ 曲線の一整理方法、第21回土質工学研究発表会、1986.
- 2) 小宮山・横山・酒井・宇都・冬木・桜井： $e - p$ 曲線の整理方法(その2)、第22回土質工学研究発表会、1987.
- 3) 小宮山・横山・酒井・宇都・冬木・桜井： $e - p$ 曲線の整理方法(その3)、第23回土質工学研究発表会、1988.
- 4) 宇都：コンピューターの利用(主にパソコンコンピューターを対象にして)、最近の土質・基礎に関する諸問題講習会講演資料、土質工学会編、1982.
- 5) 宇都・冬木・桜井：指數関数系の回帰式のまとめ、第21回土質工学研究発表会、1986.
- 6) 酒井・宇都・冬木・桜井：自然含水比をパラメーターとした $e - \log p$ 曲線の予測方法、土木学会第41回年次学術講演会、1986.
- 7) 小宮山・横山・酒井・宇都・冬木・桜井：自然含水比による圧密特性値(C_c, e_o)の予測について、土木学会第42回年次学術講演会、1987.
- 8) 土質工学会編：土質試験法、第5編土の力学的性質の試験(I)、第4章圧密試験、1984.